Instituto Federal de Educação, Ciência e Tecnologia de Santa Catarina

Departamento Acadêmico de Eletrônica

Eletrônica de Potência

INSTITUTO FEDERAL SANTA CATARINA

Projeto de Indutores para Alta Frequência

Prof· Clóvis Antônio Petry·

Florianópolis, novembro de 2012.

Bibliografia para esta aula

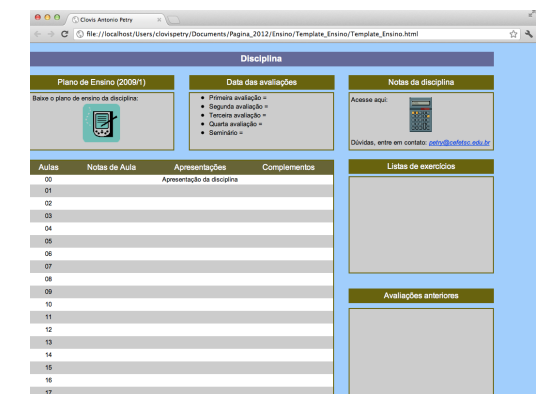


Capítulo 9: Choppers DC:

1. Projeto de indutores em alta frequência.







Nesta aula



Conversores CC-CC – Projeto de indutores em alta frequência:

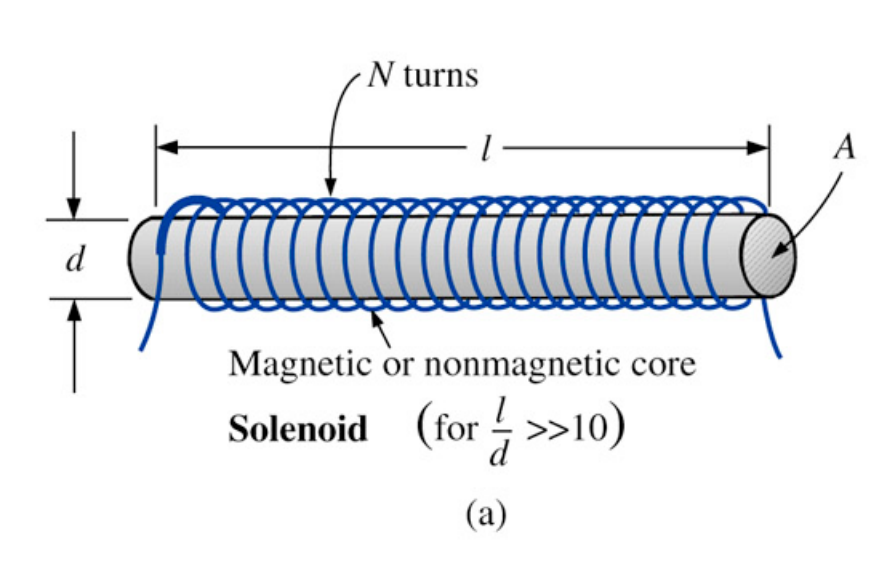
- 1. Auto-indutância;
- 2. Projeto de indutores com núcleo de ar;
- 3. Projeto de indutores com núcleo de ferrite.

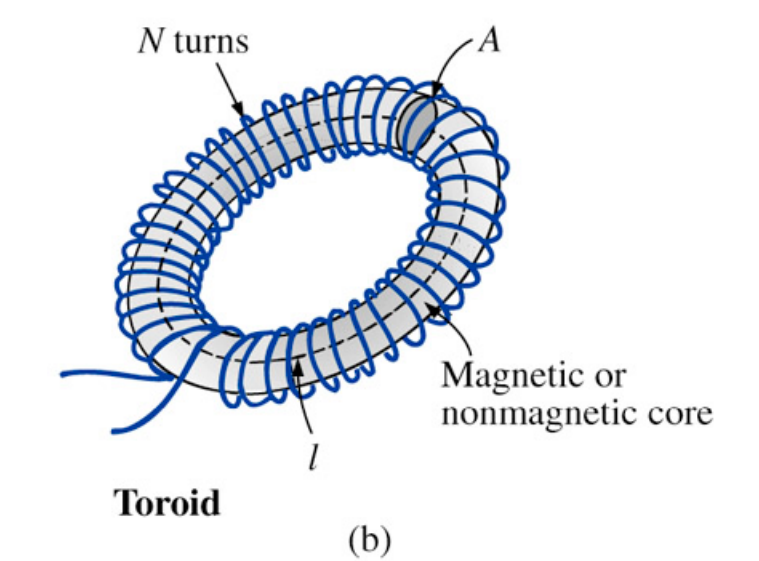
Auto-Indutância



A propriedade de uma bobina de se opor a qualquer variação de corrente é medida pela sua auto-indutância (L). A unidade de medida é o Henry (H).

$$L = \frac{N^2 \cdot \mu \cdot A}{l}$$





Auto-Indutância



Exemplo 12.1: Determine a indutância da bobina de núcleo de ar da figura abaixo:

$$\mu_r = 1 \qquad d = 4 \text{ mm}$$

$$\mu = \mu_r \cdot \mu_o = 1 \cdot \mu_o = \mu_o \qquad 100 \text{ turns}$$

$$A = \frac{\pi \cdot d^2}{4} = \frac{\pi \cdot \left(4 \cdot 10^{-3}\right)^2}{4} \qquad L = \frac{N^2 \cdot \mu \cdot A}{1}$$

$$A = 12,57 \cdot 10^{-6} m^2$$
 $L = \frac{100^2 \cdot 4\pi \cdot 10^{-7} \cdot 12,57 \cdot 10^{-6}}{0,1} = 1,58 \,\mu H$

Projeto de indutores



O projeto de um indutor depende:

- Da freqüência de operação;
- Da corrente no mesmo;
- Do regime de trabalho;
- Do material utilizado para o núcleo;
- Entre outros....



Bobinas longas:

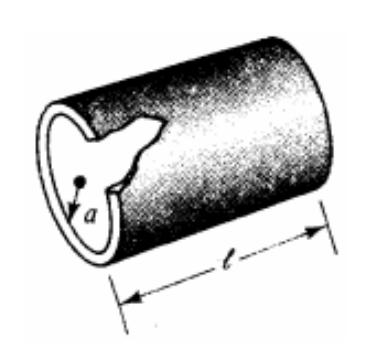
$$L = \frac{N^2 \cdot \mu \cdot A}{l} \qquad \longrightarrow \qquad N = \sqrt{\frac{L \cdot l}{\mu \cdot A}}$$

Onde:

- N número de espiras da bobina;
- L indutância [Henry, H];
- A área do núcleo [m²];
- *I* comprimento da bobina [m];
- μ permeabilidade do núcleo [Wb/A·m].



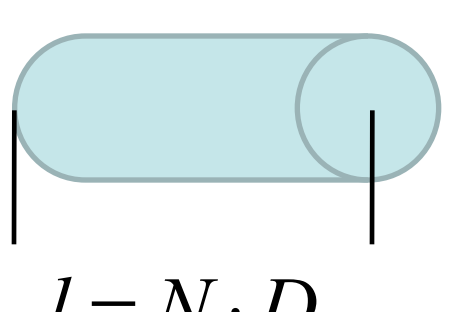
Bobina de camada única com núcleo de ar:



$$N = \sqrt{\frac{L \cdot (9 \cdot a + 10 \cdot l)}{39, 5 \cdot a^2}}$$

Onde:

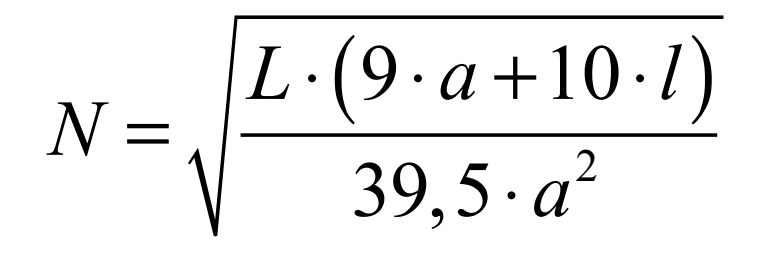
- N número de espiras da bobina;
- L indutância [micro Henry, μΗ];
- a raio do núcleo [m];
- I comprimento da bobina [m].



$$l = N \cdot D_{fio}$$



Bobina de camada única com núcleo de ar:



$$l = N \cdot D_{fio}$$

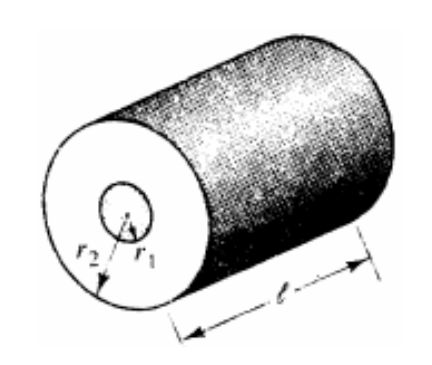


$$N = \frac{10 \cdot L \cdot D_{fio} \pm \sqrt{\left(-10 \cdot L \cdot D_{fio}\right)^{2} - 4 \cdot \left(39, 5 \cdot a^{2}\right) \cdot \left(-9 \cdot a \cdot L\right)}}{2 \cdot \left(39, 5 \cdot a^{2}\right)}$$





Bobina de diversas camadas com núcleo de ar:



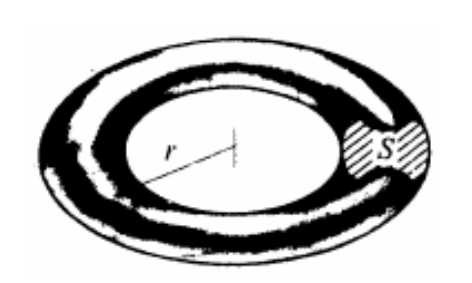
$$N = \sqrt{\frac{L \cdot (6 \cdot r_1 + 9 \cdot l + 10 \cdot (r_2 - r_1))}{31, 6 \cdot r_1^2}}$$

Onde:

- N número de espiras da bobina;
- L indutância [micro Henry, μΗ];
- I comprimento da bobina [m];
- r1 raio interno [m];
- r2 raio externo [m].



Núcleos toroidais:



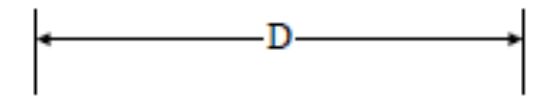
$$N = \sqrt{\frac{2\pi \cdot r \cdot L}{\mu \cdot A}}$$

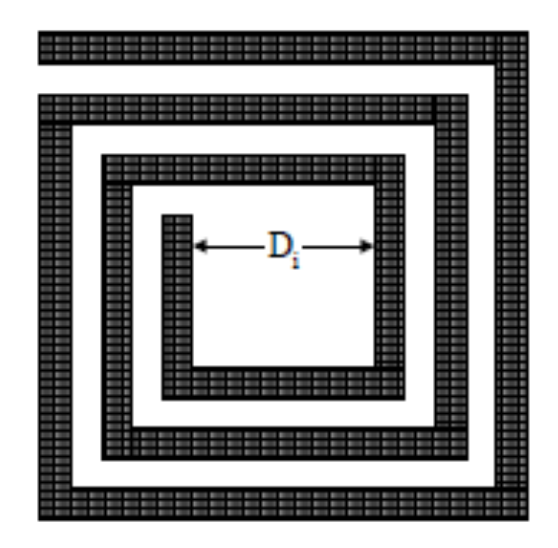
Onde:

- N número de espiras da bobina;
- L indutância [Henry, H];
- A área do núcleo [m²];
- μ permeabilidade do núcleo [Wb/A·m];
- r raio do toroide [m].



Indutor planar:







Se
$$D_i = 0$$

$$L \approx 8,5 \cdot 10^{-10} \cdot D \cdot N^{\frac{5}{3}}$$

De acordo com:

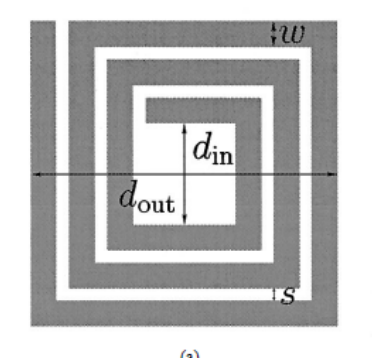
aductance Calculation Techniques pproximations and Handbook Methods

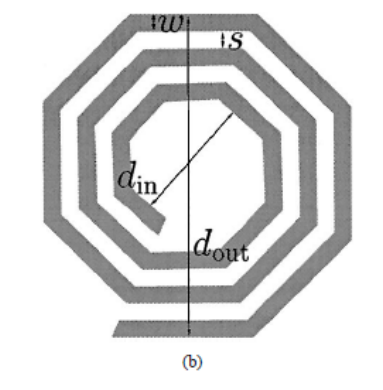
Inductance calculation references necessarily start with Maxwell's seminal work [1], first published in 1873. Maxwell worked out some interesting inductance problems, including finding the mutual inductance between circular coaxial filaments [1, pp. 339]

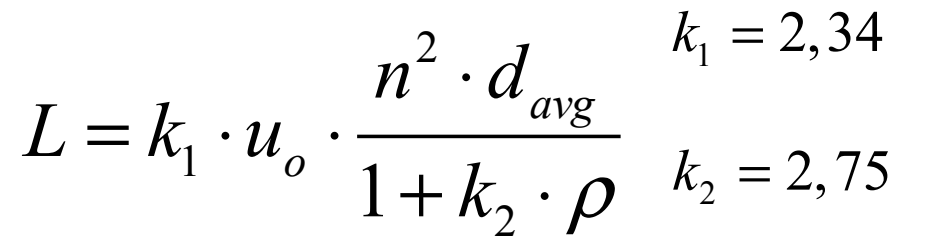
© Marc T. Thompson, 1999 file: Induct2.doc. 426/01 12:16 PM Page 1 of 11



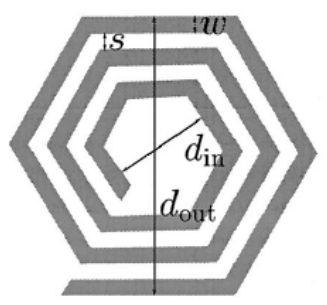
Indutor planar:

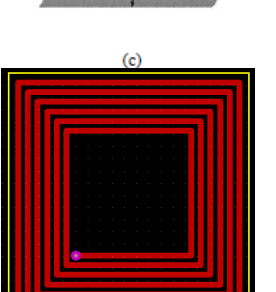


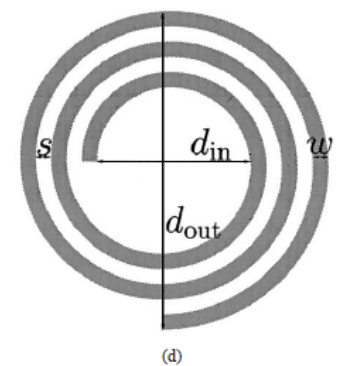




$$d_{avg} = \frac{d_{out} + d_{in}}{2} \qquad \rho = \frac{d_{out} - d_{in}}{d_{out} + d_{in}}$$







De acordo com:

Simple Accurate Expressions for Planar Spiral Inductance

Advanced by proceed according and analysis and contrast expenses and an other count of histories. We relate the far recognition of the count of the

Index Term:— CMOS analog integrated circuits, inductor integrated circuit design, integrated circuit modeling.

THE 10200 demand to my now rate frequency. It support option (575°C) his parented remains interest in well-up particul expension (175°C) his parented remains interest in the object particular continues (175°C). In the continues of a disas amplementation are says to make Combined of the continues of continues of the continues of continues of the continues of continues

Manuaript reserved November 5, 1998; revised July 12, 1999. This was supported by IRM.

The solitors are with the Electrical Engineering Department, Starfor University, Sentinct, CA 94305 USA (o-mail: mobac@penix-starford-abs).

and winkly, Fig. 1(r)-(d) shows the layout for square again, to regard, and could industries, respectively. For expectively, the control of the control of the control of the best of twan 1, the twan winkle 1, the twan speciage, and one of the following the course diseaser $d_{t_{i_1}}$ in d_{i_2} in d_{i_1} in d_{i_2} in d_{i_2} in d_{i_1} in d_{i_2} in d_{i_2} in d_{i_2} in d_{i_1} in d_{i_2} in

principly instricts approximate, but the inflatence value lacks imple but accurate aprepriates.

Imple but accurate approximate sanctive by solving receival seguration, and was recommended (1-10) faints-element obtained by uning a three-dimensional (1-10) faints-element obtained by uning a three-dimensional (1-10) faints-element and three-dimensional control of the condension of an information. Another schalings is to use the authorized and control of the contro

The Goustiers under of other settlems account on the control of th

is usign and systems. The accuracy of these approximate expressions was wealable accuracy of these approximate expressions and also with measurement date. For immediation, we used ASTITC, simplified field solvier general for the design of inflators and transformers [12]. We used a rather maps of inflators, with disc, varying from 100–480 µm, L varying from 0.5–100

001E-020099513:00 @ 1999 25

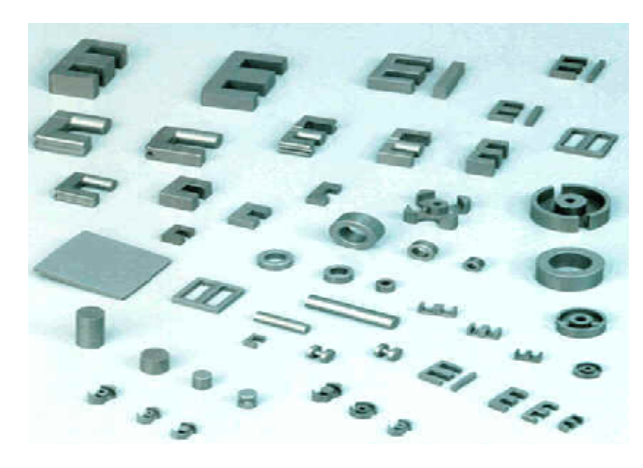
Projeto de indutores de alta frequência com núcleo



Núcleos usados na implementação de indutores de HF:



http://www·magmattec·com·br



http://www·thornton·com·br



Projeto de indutores de alta frequência com núcleo



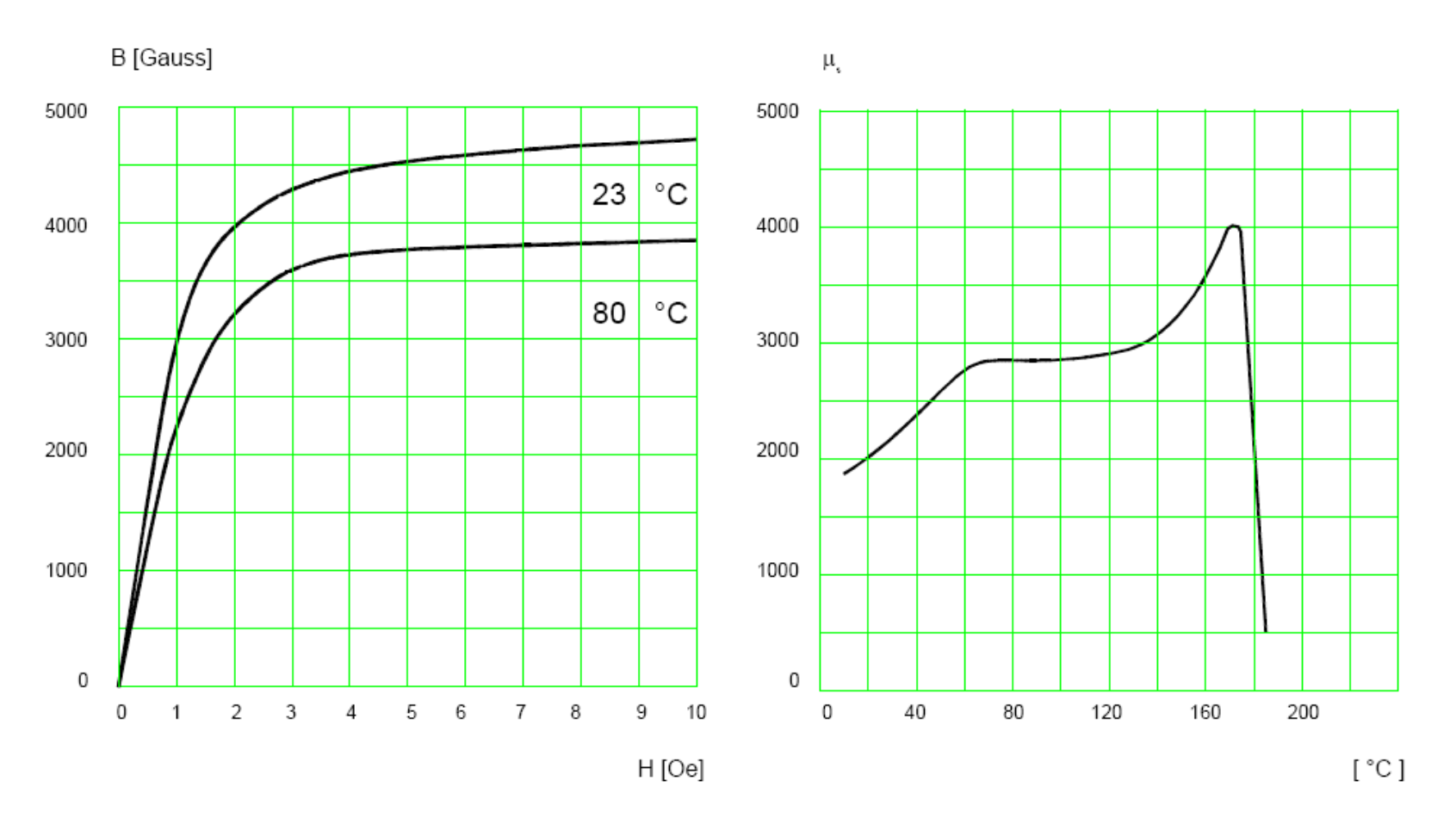
Núcleos usados na implementação de indutores de HF:

Permeabilidade Relativa, μ _R	Tipo de Material		
>> 1	Ferromagnéticos		
≅ 1	Paramagnéticos		
< 1	Diamagnéticos		

Tipo de Material	Permeabilidade Relativa, μ _R			
Ferro Comercial	9.000			
Ferro Purificado	200.000			
Ferro Silício	55.000			
Permalloy	1×10 ⁶			
Supermalloy	oy 1×10 ⁷			
Permendur	5.000			
Ferrite	2.000			



Características do núcleo:

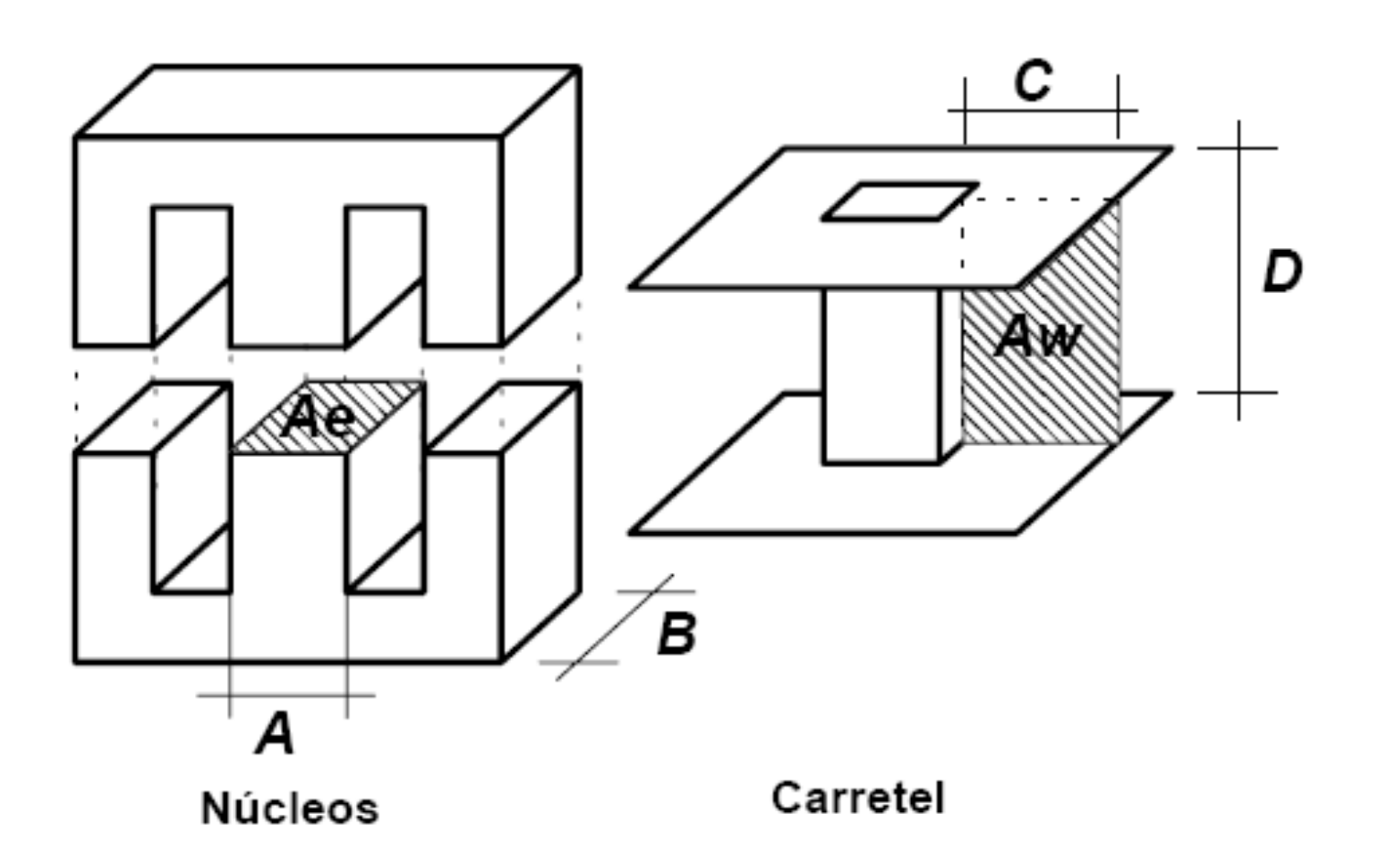


Típico B x H

μι x Temperatura



Montagem do núcleo (com entreferro):





1) Dados de entrada:

$$L_{o} = 100 \, \mu H$$

Indutância do indutor;

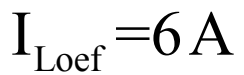
$$F_{\rm s} = 20 \, kHz$$

Frequência de operação;

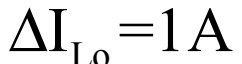
 $i_L(t)$

$$I_{Lop} = 10 A$$

Corrente de pico;



Corrente eficaz;



Ondulação de corrente;



Fator de enrolamento;



Densidade de corrente;

$$B=0,35T$$

Densidade de fluxo máximo;

$$\mu_{0} = 4\pi \cdot 10^{-7} Wb / A / m$$

Permeabilidade no vácuo.



2) Escolha do núcleo:

$$\Delta B = B \frac{\Delta I_{Lo}}{I_{Lop}} = 0,35 \frac{1}{10} = 0,035 T$$

$$AeAw = \frac{L_o \cdot I_{Lop} \cdot I_{Loef} \cdot 10^4}{k \cdot B \cdot J} = \frac{100 \cdot 10^{-6} \cdot 10 \cdot 6 \cdot 10^4}{0,7 \cdot 0,35 \cdot 450} = 0,544 cm^4$$

Núcleo	A _e (cm ²)	A _w (cm ²)	l _e (cm)	l _t (cm)	v _e (cm ³)	A_eA_w (cm ⁴)
E-20	0,312	0,26	4,28	3,8	1,34	0,08
E-30/7	0,60	0,80	6,7	5,6	4,00	0,48
E-30/14	1,20	0,85	6,7	6,7	8,00	1,02
E-42/15	1,81	1,57	9,7	8,7	17,10	2,84
E-42/20	2,40	1,57	9,7	10,5	23,30	3,77
E-55	3,54	2,50	1,2	11,6	42,50	8,85



3) Cálculo do número de espiras:

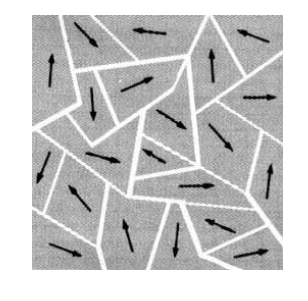
$$N = \frac{L_o \cdot I_{Lop} \cdot 10^4}{B \cdot A_e} = \frac{100 \cdot 10^{-6} \cdot 10 \cdot 10^4}{0,35 \cdot 1,20} = 24 \text{ espiras}$$

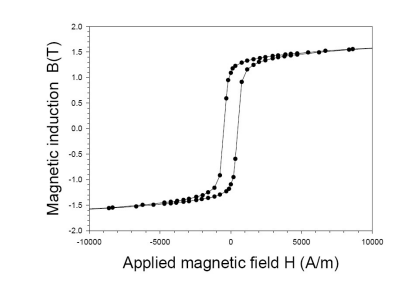
4) Cálculo do entreferro:

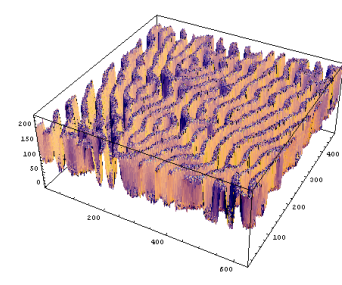
$$lg = \frac{N^2 \cdot \mu_o \cdot A_e \cdot 10^{-2}}{L_o} = \frac{24^2 \cdot 4\pi \cdot 10^{-7} \cdot 1,20 \cdot 10^{-2}}{100 \cdot 10^{-6}} = 0,087 cm$$



Perdas no núcleo:







Correntes parasitas:

- Induzidas no núcleo, devido ao mesmo ser, normalmente, de material ferromagnético.

Perdas por histerese:

- Trabalho realizado pelo campo (H) para obter o fluxo (B);
- Expressa a dificuldade que o campo (H) terá para orientar os domínios de um material ferromagnético.

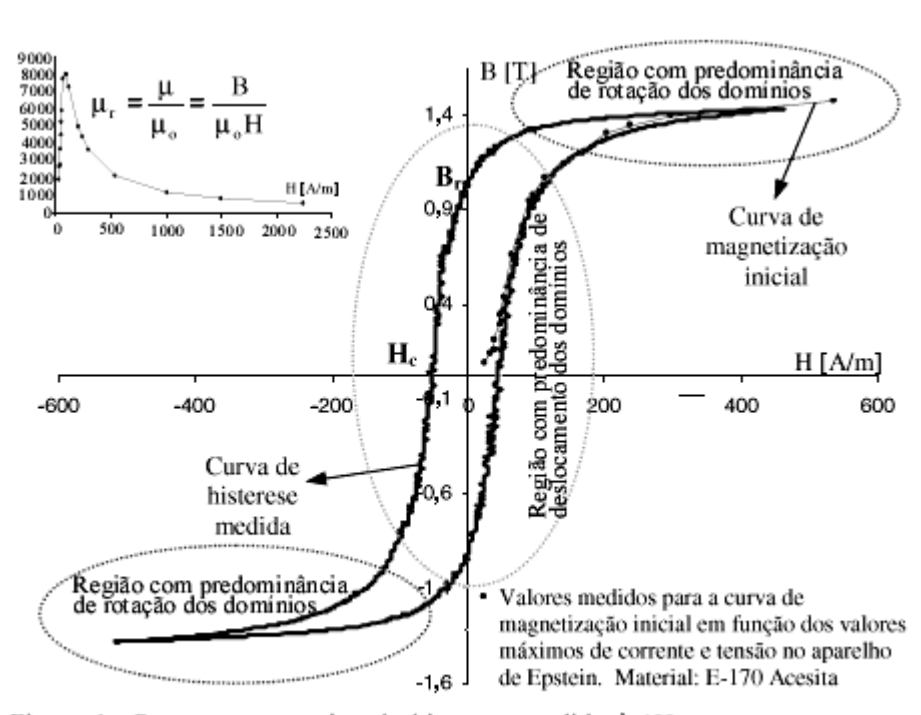


Figura 1: Curva representativa da histerese medida à 1Hz.



5) Perdas no núcleo:

$$K_{--} = 4 \cdot 10^{-5}$$

$$K_H = 4 \cdot 10^{-5}$$
$$K_E = 4 \cdot 10^{-10}$$



$$P_{nucleo} = \Delta B^{2,4} \cdot \left(K_H \cdot F_s + K_E \cdot F_s^2 \right) \cdot V_e$$

$$P_{nucleo} = 0.035^{2.4} \cdot \left(4 \cdot 10^{-5} \cdot 20000 + 4 \cdot 10^{-10} \cdot 20000^{2}\right) \cdot 8$$

$$P_{nucleo} = 2,46 \, mW$$



Perdas no condutor:

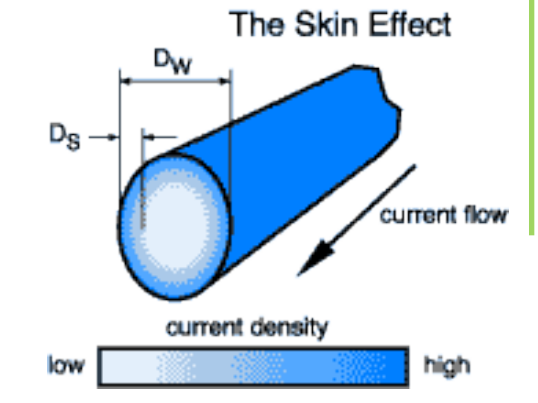
Efeito de proximidade:

 Relaciona um aumento na resistência em função dos campos magnéticos produzidos pelos demais condutores colocados nas adjacências.

Efeito pelicular (efeito skin):

- Restringe a secção do condutor para frequências elevadas.
- Em altas frequências, a tensão oposta induzida se concentra no centro do condutor, resultando em uma corrente maior próxima à superfície do condutor e uma rápida redução próxima do centro.

Profundidade de penetração
$$\longrightarrow \Delta = \frac{7,5}{\sqrt{f_s}} [cm]$$





6) Profundidade de penetração:

$$\Delta = \frac{7,5}{\sqrt{F_s}} = \frac{7,5}{\sqrt{20000}} = 0,053 \, cm$$

$$Dfio_{max} = 2 \cdot \Delta = 2 \cdot 0,053 = 0,106 cm$$

Não poderá ser utilizado condutor com diâmetro maior que 0,106 cm. Portanto, podem ser utilizados condutores mais finos que o fio 18 AWG. Escolheu-se o condutor 22 AWG.

$$A_{cu22} = 0,003255 \, cm^2$$
 $S_{22} = 0,004013 \, cm^2$

$$\rho_{22} = 0.000530 \Omega / cm$$



7) Escolha da seção dos condutores:

$$S = \frac{I_{Loef}}{I} = \frac{6}{450} = 0,013 \, cm^2$$
 Maior que a área do fio 22 AWG.

$$N_{fios} = \frac{S}{A_{cu22}} = \frac{0,013}{0,003255} = 5 \, fios$$

8) Cálculo da resistência do fio:

$$R_{fio} = N \cdot \frac{\rho_{22}}{N_{fios}} \cdot lt = 24 \cdot \frac{0,000530}{5} \cdot 6,7 = 0,017 \Omega$$



9) Perdas no cobre:

$$P_{cobre} = R_{fio} \cdot I_{Loef}^{2} = 0,017 \cdot 6^{2} = 0,614W$$

10) Perdas totais:

$$P_{totais} = P_{nucleo} + P_{cobre} = 2,46m + 0,614 = 0,616W$$

11) Elevação de temperatura:

$$Rt = 23 \cdot (AeAw)^{-0.37} = 23 \cdot (1.02)^{-0.37} = 22.832 \, {}^{o}C/W$$

$$\Delta T = Rt \cdot P_{total} = 22,832 \cdot 0,616 = 14,066^{\circ}$$



12) Cálculo do fator de ocupação:

$$Aw_{neces} = \frac{N \cdot N_{fios} \cdot S_{22}}{0.7} = \frac{24 \cdot 5 \cdot 0,004013}{0.7} = 0,688 cm^2$$

$$K_{ocup} = \frac{Aw_{neces}}{Aw} = \frac{0,688}{0,85} = 0,809$$

